


X

JOURNAL de PHYSIQUE et LE RADIUM

ANNÉE 1960 — TOME 21

PUBLICATION DE LA SOCIÉTÉ FRANÇAISE DE PHYSIQUE SUBVENTIONNÉE
PAR LA CONFÉDÉRATION DES SOCIÉTÉS SCIENTIFIQUES FRANÇAISES
ET LE CENTRE NATIONAL DE LA RECHERCHE SCIENTIFIQUE

Rédaction : 10, rue Vauquelin, PARIS-5^e. Tél : GOBELINS 11-02 — Administration : 12, place Henri-Bergson, PARIS-8^e. Tél. LABORDE 23-38.



Digitized by the Internet Archive
in 2024

Handwritten notes:
Kine Science
QCI
J64
VIII 21
cop. 2

TABLE DU TOME 21 — 1960

1° La lettre A placée après le numéro de la page désigne un texte paru dans un fascicule de Physique appliquée (pages 1 A à 224 A).

2° La lettre S désigne de même un texte paru dans les pages consacrées au Bulletin de la Société Française de Physique (pages 1 S à 128 S).

3° La mention (*Lettre*) désigne une lettre à la Rédaction.

4° La mention (*Revue*) désigne une analyse parue dans la Revue des Livres.

F. A belès, Propriétés optiques des alliages Ag-Sn dans l'ultraviolet	54 S
M ^{lle} M. Ader, Sur la présence éventuelle de bore, de sodium, de potassium dans les sources radioactives α , déposées sur métaux lourds	102
M ^{me} F. Aeschlimann, Le barycentre en théorie fonctionnelle des système de corpuscules	115
M ^{me} F. Aeschlimann, Voir J. L. Destouches (<i>Revue</i>)	695
M ^{me} F. Aeschlimann, La fusion de deux corpuscules en théorie fonctionnelle	859
P. Aigrain, Propriétés des jonctions $n^+ - p^+$ dans les semi-conducteurs. Diodes « Tunnel » ou Esaki, théorie et démonstrations	85 S
M ^{lle} G. Albouy, Voir M ^{me} N. Poffé	343
M ^{lle} G. Albouy, M. Gusakow et M ^{me} N. Poffé, Nouveaux isotopes de période courte obtenus par spallation de l'or (<i>Lettre</i>)	751
G. Amat, Voir M ^{me} M. L. Grenier-Besson (<i>Lettre</i>)	568
G. Amat, M ^{me} M.-L. Grenier et L. Henry, Relations entre la symétrie des molécules et leur énergie de vibration-rotation	12 S
G. Amat et L. Henry, Résonances et dédoublements du type K dans les molécules à symétrie axiale	728
R. Amiot et M ^{lle} R. Bernardet, Méthode de mesure de l'absorption d'un liquide par un corps poreux	79 S
C. Ancenot et M ^{me} L. Couture, Étude optique à basse température des aluns de chrome et de potassium magnétiquement dilués	62 S et 47
C. d'Andlau, Appareillage de mesure des photographies de chambres à bulles	29 S
S. André, Voir J. Ducloux	385
Y. Archambault, J. P. Descoubes, M. Priou, A. Omont et J. C. Pébay-Peyroula, Étude par bombardement électronique de la durée de vie et de la structure hyperfine des niveaux D du sodium et du césium (<i>Lettre</i>)	677
R. Armbruster, Voir S. Gorodetzky	360
E. Arnous, Nouveaux types d'interaction en théorie non locale du champ mésique (<i>Lettre</i>).	807
A. Arnulf et M ^{lle} O. Dupuy, Contribution à l'étude des microfluctuations de l'accommodation	55 S
A. Art et A. Ponslet, Macles de croissance dans les cristaux d'argent des couches minces	134 A
H. Arzeliès et J. Henry, Milieux conducteurs ou polarisables en mouvement (<i>Revue</i>) ...	578
H. Arzeliès et R. Mendez, La dynamique relativiste et ses applications. II. Problèmes de mouvement en dynamique du point faiblement accéléré (<i>Revue</i>)	578
A. Astier, Expérience poursuivie avec une chambre de Wilson	17 S
C. Augoyard, Étude critique d'un montage de résonance magnétique électronique (à cavité cylindrique). Applications diverses	69 S
C. Augoyard, Voir R. Servant	70 S
A. Authier, Observation des dislocations dans le silicium à l'aide des rayons X dans le cas de la transmission anormale	655
P. Averbuch, Interaction quadripolaire nucléaire dans le cuivre écroui	117 S
Y. Ayant et J. Thomas, Une méthode de calcul des tenseurs sphériques	115 S
C. Baglin, M. Bloch, J. Hennessy, A. Lagarrigue, P. Mittner, P. Musset, A. Orkin-Lecourtois, P. Rançon, A. Rousset, X. Sauteron et J. Six, Expérience effectuée avec une chambre à bulles à liquide lourd	19 S
M. P. Balandine, Voir M ^{me} J. Laberrigue-Frolow	54
R. Balian et V. Gillet, Interaction directe dans la réaction ${}^9\text{Be}(n, 2n){}^8\text{Be}$	351
M. Balkanski et J. des Cloizeaux, Structure de bandes des cristaux de type wurtzite. Transitions optiques intrinsèques dans le CdS	825
W. C. Barber et V. J. Vanhuyse, Étude des photoprotons de ${}^{93}\text{Nb}$	299
M ^{lle} R. Barbier, Voir H. Danan	822
P. Barchewitz, Voir C. Haeusler	809
P. Barchewitz, Voir M ^{lle} J. Hayotte	1 S
R. Barjon, M. Lambert et J. Schmouker, Section efficace différentielle de la réaction ${}^{13}\text{C}({}^3\text{He}, \alpha){}^{12}\text{C}$ à 1,8 MeV	356
R. Barloutaud, H. Faraggi, L. Rosen et S. M. Shafroth, Sur la production et la détection de deutons polarisés	369
P. Barreau, Voir J.-B. Bellicard	296
C. Bastard et J. Lafoucrière, Pouvoir séparateur et luminosité d'un spectrographe β utilisant un champ magnétique en r^{-1}	36 S et 112
G. Batailler, Multiplicateurs de fréquence pour l'alimentation de cellules électro luminescentes	72 S
E. Batifol et G. Duraffourg, Détermination du coefficient de diffusion de l'arsenic dans le germanium par mesure de la tension thermoélectrique	207 A

J. Baudet, F. Cabaret, J. Tillieu et J. Guy, Table d'intégrales à deux centres (II)	105
J. Baudet. Voir J. Guy	59
J. Baudet, J. Guy et J. Tillieu, Calcul des susceptibilités magnétiques principales de la molécule de benzène	600
H. Beaumevielle. Voir R. Bouchez	819
R. Belbeoch, P. Bounin et G. Proca, Sur la modification des propriétés des aimants produite par les effets de bord. Cas des aimants à champ uniforme et à gradient de champ	489
J.-B. Bellicard et P. Barreau, Mesures de diffusion élastique d'électrons de 28 MeV par les noyaux lourds	296
P. Benezech. Voir A. Papineau	410
H. Benoît, Étude de l'amortissement par rayonnement cohérent en résonance magnétique nucléaire	212
C. Bergamaschi, J. C. Brun, A. Cabrespine, R. Gayraud, M ^{mes} J. Génin, H. Langevin-Joliot et N. Marty, A. Michalowiec, P. Radvanyi, M. Riou, J. Teillac et C. Victor, Le synchro-cyclotron de 157 MeV	305
P. Bergé et G. Blanc, Calorimètre adiabatique	129 A
P. Bergé et M. Tournarie, Histogramme. Dispositif de comptage par point, entièrement automatique, réalisé à partir d'éléments standards pour un spectromètre X ..	181 A
R. Bergère. Voir A. Michaudon	429
M ^{lle} R. Bernardet. Voir R. Amiot	79 S
R. Bernas et C. Cassagnol, Mise en évidence d'un processus de contamination isotopique dans les séparateurs électromagnétiques d'isotopes (<i>Lettre</i>)	566
R. Bernas. Voir M ^{me} N. Poffé	343
R. Bernas, J. L. Sarrouy et J. Camplan, Séparateur d'isotopes à double déflexion magnétique pour la production d'isotopes de très haute pureté	191 A
E. F. Bertaut, Configurations de spins ordonnés	115 S
F. Bertoin, Sur quelques aspects du calcul matriciel des circuits non linéaires à oscillation locale	137 A
A. Berthelot, Compte rendu du Congrès de Kiev : 1. — Interactions fortes	13 S
A. Berthelot, Saturne, le synchrotron à protons de Saclay : l'appareillage et les expériences. ..	37 S
R. Beurtey, P. Catillon, R. Chaminade, M. Crut, H. Faraggi, A. Papineau, J. Saudinos et J. Thirion, Étude de la diffusion inélastique de particules alpha de 44,4 MeV sur ⁵⁸ Ni, ⁶⁰ Ni, ⁶⁴ Ni	399
R. Beurtey, Guillou et J. Raynal, Étude de la diffusion élastique des particules chargées à l'aide du modèle optique	402
M ^{lle} D. Bezier. Voir G. Charlot (<i>Revue</i>)	16
Bilan au 31 octobre 1959	126 S
R. Bilwes. Voir M ^{me} D. Magnac-Valette	125
R. Bilwes, R. Seltz, M. Suffert, C. Gérardin, J. Linck, D. Magnac-Valette et P. Cüer, Spectre de désintégration du ⁸ Li. Étalonnage du spectromètre de Buchner du Van de Graaf de Cronenbourg	376
L. Birds, D. N. Edwards, B. Rose, A. E. Taylor et E. Wood, Détermination du paramètre R dans la diffusion de protons à 142 MeV	329
M. Biron, Four de King utilisable sous forte pression (50 atm)	99 S
G. R. Bishop, Équipements pour l'exploitation expérimentale de l'accélérateur linéaire d'Orsay	21 S
J. Blamont, Les recherches françaises dans le domaine de l'espace	90 S
D. Blanc, Détecteurs de particules. Compteurs et scintillateurs (<i>Revue</i>)	93
D. Blanc et J. Cabé, L'emploi de vapeur de cyclopropane dans les compteurs de Geiger-Müller	92 A
D. Blanc, J. Fontan et G. Vedrenne, Un procédé de dosage continu du radon dans l'air atmosphérique. Application à la prospection de l'uranium	176 A
D. Blanc, E. Fort, R. Lacoste et J. Lagasse, Mesure des résistances électriques élevées à l'aide d'une chambre d'ionisation utilisée comme source de courant	52 A
D. Blanc et J. Mathieu, Mise en évidence d'impulsions produites par des particules alpha dans les chambres d'ionisation remplies d'hexane liquide à la température du laboratoire (<i>Lettre</i>)	675
G. Blanc. Voir P. Bergé	129 A
A. Blandin et J. Friedel, Effets quadrupolaires dans la résonance magnétique nucléaire des alliages dilués	689
M ^{me} D. Blet, Étude thermodynamique des photopiles au sélénium	40 S
G. Blet. Voir M ^{lle} J. Vincent	685
M ^{lle} M. Bloch, L'étoile symbiotique Z Andromedae	118 S
M. Bloch. Voir G. Baglin	19 S
M. Bloch, A. Lagarrigue, P. Rançon et A. Rousset, Grande chambre à bulles à liquide lourd	31 S
M. Blondin. Voir E. Dupuy	87 S
F. Blottiau. Voir E. Dupuy	87 S
M. Boge. Voir R. Bouchez	346
M. Boge. Voir J. Fleury	480
M. Bolvin, Élargissement d'un faisceau d'électrons par la charge d'espace	171 A
J. Boscher, Résolution par analogie électrique d'équations aux dérivées partielles du quatrième ordre intervenant dans divers problèmes d'élasticité (<i>Revue</i>)	114
X. de Bouard. Voir M ^{me} H. Langevin-Joliot	320

R. Bouchez, H. Beaumevielle, J. Fleury, P. Perrin, R. de Swiniarski et M. Chabre, Distribution angulaire de la réaction $^{11}\text{B}(\text{p}, \alpha_0)$ de 100 à 300 keV	819
R. Bouchez. Voir E. Corompt	483
R. Bouchez. Voir J. E. David	435
R. Bouchez, C. Delorme, J. Fleury, J. Krafft, P. Perrin, M ^{lle} L. Goldman, M. Boge et B. Dudek, La distribution angulaire de la réaction $^6\text{Li}(\text{p}, \alpha)^3\text{He}$ de 100 à 300 keV	346
R. Bouchez. Voir P. Depommier	456
P. Bounin. Voir R. Belbeoch	489
J. Bourguignon, Mesure précise d'intervalles de temps de l'ordre de la microseconde ...	217 A
P. Bousquet, Remarques sur la structure des couches minces transparentes	48 S
P. Bousquet et P. Rouard, Constantes optiques et structure des couches minces (<i>Mise au point bibliographique</i>)	873
F. P. Bowden et D. Tabor, Friction et lubrification (<i>Revue</i>)	688
H. Braun, Procédé et formule de fixage pour plaques nucléaires épaisses éliminant la corrosion des grains d'argent	73 A
H. Braun. Voir R. Stein	374
H. Breton, Interférométrie dans les tubes à chocs	42 S
J. Brochard, Sur le montage d'Ebert des réseaux plans	50 S
J. E. Brolley, Jr. Voir L. Rosen	365
J. C. Brun. Voir C. Bergamaschi	305
J. C. Bruyère, Mesure de l'épaisseur des films minces pendant leur formation sous vide (<i>Lettre</i>)	222 A
J. C. Bruyère, Dispositif photoélectrique de déclenchement d'un chronomètre (<i>Lettre</i>) ..	223 A
J. C. Bruyère et R. Montmory, Étude par microscopie et diffraction électronique de dépôts épitaxiaux sur support de mica	117 S
A. Budzanowski, K. Grotowski, H. Niewodniczanski et J. Nurzynski, La polarisation des neutrons de la réaction de stripping $^{12}\text{C}(\text{d}, \text{n})^{13}\text{N}$	366
M ^{me} A. Burdet, Sur la théorie du spectromètre β à orbites spirales	124 S
A. Bussière de Nercy et M. Langevin, Diffusion et absorption résonnante des photons de freinage	293
A. Bussière de Nercy, M. Langevin et M. Spighele, Absorption résonnante du rayonnement γ sans recul du noyau de ^{166}Ho et ^{193}Os	288
F. Cabaret. Voir J. Baudet	105
J. Cabé. Voir D. Blanc	92 A
A. Cabrespine, Méthodes permettant d'améliorer la structure en temps du faisceau externe du synchrocyclotron	332
A. Cabrespine. Voir C. Bergamaschi	305
P. Caffier. Voir M ^{me} D. Magnac-Valette	199
M. Cagnet, M. Francon et J.-C. Thrierr, Photographie de phénomènes de diffraction ...	45 S
P. Caillon. Voir E. Groubert	155 A
E. Calvet et H. Prat, Récents progrès en microcalorimétrie (<i>Revue</i>)	173
J. Camplan. Voir R. Bernas	191 A
Cao Xuan Chuan, Relations expérimentales parcours-énergie pour les ions légers de faible énergie dans les émulsions nucléaires (<i>Lettre</i>)	757
A. Caravel, Stabilisateurs passifs de tension ou de courant en pont	187 A
R. Cartraud et R. Zouckermann, Glissements rotationnels et pseudo-structure du mica muscovite (<i>Lettre</i>)	82 S et
C. Cassignol. Voir R. Bernas (<i>Lettre</i>)	566
P. Catillon. Voir R. Beurtey	399
C. Caverzasio et A. Michalowitz, Diffusion protons-protons à 155 MeV. Section efficace différentielle entre 30° et 110° C. M.	314
R. Cerf. Voir R. Koyama (<i>Lettre</i>)	503
R. Chabbal et P. Jacquinet, Analyse isotopique par spectrométrie Fabry-Perot	61 S
M. Chabre. Voir R. Bouchez	819
M. Chabre. Voir P. Depommier	493
R. Chaminade. Voir R. Beurtey	399
R. Chaminade, M. Cros, M. Crut et A. Papineau, Ensemble détecteur pour études de diffusion	396
G. Charlot, M ^{lle} D. Bezier et M ^{me} J. Courtot, Constantes sélectionnées. Potentiels d'oxydo-réduction (<i>Revue</i>)	16
A. Charru, Expériences à 3 000 MHz sur les aériens hélicoïdaux. Réalisation et analyse d'un dichroïsme circulaire	93 S
H. Chateau et A. de Cugnac, Sous-structures dans les cristaux de bromure d'argent ...	789
R. Chéry, Contribution à l'étude de la variation du gain des photomultiplicateurs en fonction du taux de comptage des impulsions (<i>Lettre</i>)	679
P. Chevallier. Voir S. Gorodetzky	360
B. Cheynier, J. L. Leroy et K. Prelec, Dispositif de pulsation rapide pour un accélérateur électrostatique de basse énergie	393
Cho Yen Ho. Voir E. B. Penrod	97 A
J. des Cloizeaux. Voir M. Balkanski	825
A. Clottes, Circuit électrométrique stable utilisant un tube ordinaire	106 S
M. Cloupeau, Particularités des ondes de choc produites par les décharges condensées dans un gaz à basse pression	189
A. Coche. Voir G. Laustriat	487

A. Coche. Voir G. Walter	477
L. Cohen. Voir J. Olkowsky	405
A. Coin. Voir A. Michaudon	429
J. Colard, P. Gepts, L. Grenacs, A. Jones et P. Lipnik, Niveaux excités du $^{116}_{50}\text{Sn}$	863
M ^{me} J. Connes, Application à l'étude du ciel nocturne de la méthode de spectroscopie par transformation de Fourier	62 S
M ^{me} J. Connes et H. P. Gush, Étude du ciel nocturne dans le proche infra-rouge	645
R. Conte et B. Dreyfus, Étude de la relaxation en torsion des whiskers de fer	74 S
G. Corbé. Voir T. Yuasa	123 A
C. Corge, V.-D. Huynh, J. Julien, S. Mirza, F. Netter et J. Simic, Paramètres de résonance observés lors de l'absorption des neutrons intermédiaires par W et Pt	426
C. Corge. Voir J. Julien	423
C. Corge, J. Julien et F. Netter, Analyse des résonances dues aux neutrons « s » dans les expériences de transmission par temps-de-vol (<i>Lettre</i>)	759
Y. Cornet. Voir C. Haeusler	809
E. Corompt et R. Bouchez, Mesure absolue β par spectrométrie 4π à scintillation	483
E. Cotton, Émission et absorption de rayonnement gamma sans recul du noyau émetteur emprisonné dans un réseau cristallin (effet Mössbauer)	265
A. Coumes, Oscillations collectives d'un système de trous en présence de phonons	229
M ^{me} J. Courtot. Voir G. Charlot (<i>Revue</i>)	16
C. Courty, Sur le calcul du coefficient d'aimantation diamagnétique des atomes libres 36 S et	233
C. Courty, Calcul du coefficient d'aimantation diamagnétique des molécules à atomes liés par de simples covalences	119 S
C. Courty, Calcul du diamagnétisme des molécules possédant des liaisons multiples	122 S
M ^{me} L. Couture. Voir C. Ancenot	62 S et
J. Crançon. Voir P. Depommier	493
D. Cribier et B. Jacrot, Diffusion quasi-élastique des neutrons froids par l'eau et coefficient d'autodiffusion du liquide (<i>Lettre</i>)	82 S et
D. Cribier, B. Jacrot et D. Saint-James, Diffusion des neutrons par les phonons dans un monocristal (<i>Lettre</i>)	82 S et
M. Cros. Voir R. Chaminade	396
P. Croce et M ^{me} M. Gandais, Étude des couches minces de quelques métaux par rayons X. 45 S	399
M. Crut. Voir R. Beurtey	396
M. Crut. Voir R. Chaminade	376
P. Cür. Voir R. Bilwes	125
P. Cür. Voir M ^{me} D. Magnac-Valette	199
P. Cür. Voir M ^{me} D. Magnac-Valette	374
P. Cür. Voir R. Stein	789
A. de Cugnac. Voir H. Chateau	127
D. Curie. Voir M ^{me} G. Curie	127
M ^{me} G. Curie et D. Curie, Sur les bandes d'émission verte et bleue de ZnS(Cu)	89 S
M. Curie, Allocution	57 A
F. Dachert et A. Schmuehkovitch, Mesure du tenseur de perméabilité des ferrites à 3 000 et 8 500 mégacycles par seconde	822
H. Danan et M ^{lle} R. Barbier, Loi d'approche à la saturation en $1/H^2$ en fonction de l'énergie magnétocristalline pour quelques types de ferromagnétiques polycristallins ...	64 S
M ^{lle} Y. Daquo et D. Teulie, Sur la dispersion de réfraction du chlorure d'ammonium ...	201
A. B. Datzeff, Sur l'interprétation de la mécanique quantique. II. Détermination de la probabilité de présence	435
J. E. David, J. Krafft, R. Bouchez, N. Felici, Analyse magnétique du faisceau de l'accélérateur électrostatique 600 kV de Grenoble	157
J.-P. David, Remarques sur certaines propriétés optiques et sur la structure des couches minces d'argent	65
R. David-Boyer. Voir M. Vergnes (<i>Lettre</i>)	121
F. Davoine, P. Pinard et M. Martineau, Observation microscopique du sulfure de cadmium bombardé par des électrons de 5 keV	13 S
E. Decamps. Voir A. Hadni	442
M. De Croës, J. P. Deutsch et P. Lipnik, Mesures de corrélation bêta gamma polarisation circulaire sur ^{198}Au et ^{122}Sb	76
A. Defrain et I. Epelboin, Sur quelques propriétés thermodynamiques d'une phase solide du gallium instable à la pression atmosphérique (<i>Lettre</i>)	34 S
G. Déjardin, G. Mesnard et R. Uzan, Déterminations de températures portant sur des tubes électroniques (description et interprétation des observations)	21 S
J.-L. Delcroix, Accélérateur linéaire d'Orsay : État actuel de la construction ; résultats des premiers essais	514
J. Delloue, La détermination de la direction d'arrivée et de la polarisation des atmosphériques siffleurs. 1 ^{re} partie : Les dispositifs expérimentaux	587
J. Delloue, La détermination de la direction d'arrivée et de la polarisation des atmosphériques siffleurs. 2 ^e partie : Les résultats	346
C. Delorme. Voir R. Bouchez	382
M. Demeur, Distribution angulaire dans la réaction (n, n')	168
M. Demeur. Voir P. M. Endt (<i>Revue</i>)	451
M. Demeur et Ch. Joachain, Polarisation nucléaire dans l'atome mésique de deutérium ...	688
J. P. Den Hartog, Vibrations mécaniques (<i>Revue</i>)	

J. F. Denisse, Les émissions radioélectriques du Soleil	37 S
P. Depommier, M. Chabre, J. Crançon et H. Vialettes, Caractéristiques d'un spectromètre β du type Siegbahn-Slatis	493
P. Depommier, U. Nguyen-Khac et R. Bouchez, Probabilités de transition pour la capture d'électron orbital et rapport K/β^+	456
J. Depraz, M ^{lle} G. Legros et R. Salin, Mesure des sections efficaces de quelques réactions (n, p), (n, α), (n, 2n)	377
J. Depraz, M ^{lle} G. Legros et R. Salin, Rendement en γ et en X et spectre pour des supports de cibles bombardés par des protons de basse énergie : 0,3 à 1 MeV	412
J. P. Destouches. Voir Y. Archambault (<i>Lettre</i>)	677
P. Desnuelle. Voir J. P. Mathieu (<i>Revue</i>)	673
J.-L. Destouches, Sur une propriété limite de l'onde moyenne en théorie fonctionnelle des systèmes de corpuscules	145
J. L. Destouches et F. Aeschlimann, Les systèmes de corpuscules en théorie fonctionnelle (<i>Revue</i>)	695
J.-F. Detœuf, Mesure de la section efficace totale d'interaction des mésons π chargés avec les protons	15 S
J. P. Deutsch. Voir M. De Croës	442
J. P. Deutsch et P. Lipnik, Mesures de corrélation bêta-gamma, polarisation circulaire sur ¹⁹⁸ Au et ¹²² Sb (<i>Lettre</i>)	806
M. Deutsch. Voir R. Stiening (<i>Lettre</i>)	261
G. Doetsch, Introduction à l'utilisation pratique de la transformation de Laplace (<i>Revue</i>) ..	114
A. Dolce. Voir G. Mesnard	33 S et 35 S
B. Dreyfus, Ondes de spin dans les grenats de terres rares	116 S
B. Dreyfus. Voir R. Conte	74 S
E. Dubois, Electromagnétisme (III). Champs et courants variables. Ondes électromagnétiques (<i>Revue</i>)	58
J. Duclos, Construction d'un chronotron pour la mesure du temps de vol des neutrons rapides	19 A
J. Duclos, R. Van Zurk, S. André et J. Fleury, Sur la mesure d'intervalles de temps courts. ..	385
P. Ducros et X. Paré, Résonance magnétique nucléaire des protons de l'eau des zéolites ..	117 S
B. Dudek. Voir R. Bouchez	346
P. M. Duffieux, Bruits et bruitage en optique	53 S
J. Duflo, Réalisation d'une chambre à scintillations	29 S
J. Duflo, Remarques sur la réalisation des chambres à scintillations	65 A
J. Duflo, Note complémentaire sur les chambres à scintillations (<i>Lettre</i>)	70 A
R. Dugas, La théorie physique au sens de Boltzmann et ses prolongements modernes (<i>Revue</i>)	16
M ^{me} F. Dupont-Bourdelet, J. Tillieu et J. Guy, Sur le calcul des énergies perturbées d'ordre quelconque	776
E. Dupuy, M. Blondin et F. Blottiau, Rapport de la commission des comptes sur l'exercice 1958-1959	87 S
M ^{lle} O. Dupuy. Voir A. Arnulf	55 S
M. Duquesne et I. Kaplan, Mesure de la luminescence induite par le rayonnement α du ²¹⁰ Po dans l'air et dans l'eau	708
G. Duraffourg. Voir E. Batifol	207 A
R. Duverney, Transmission d'une lame prismatique de très petit angle pour une radiation infrarouge monochromatique (<i>Lettre</i>)	895
R. Duverney, Mécanisme de la polarisation par lames minces de sélénium dans l'infrarouge	47 S
D. N. Edwards. Voir L. Birds	329
J. Elston. Voir L. Sicard	696
P. M. Endt et M. Demeur, Nuclear Reactions (<i>Revue</i>)	168
P. M. Endt, A. M. Hoogenboom et M. Suffert, Mesure de la polarisation rectiligne des rayonnements gamma provenant de certaines réactions	432
I. Epelboin. Voir A. Defrain (<i>Lettre</i>)	85 S et 76
I. Epelboin et M. Erny, Sur certaines anomalies de la variation avec la température de la chaleur massique des monocristaux de gallium	83 S
I. Epelboin et G. Loric, Sur un phénomène de résonance observé en basse fréquence au cours des électrolyses accompagnées d'une forte surtension anodique (<i>Lettre</i>) ..	82 S et 74
M. Erny. Voir I. Epelboin	83 S
M ^{me} H. Espagne, Observation directe de quelques aspects du réseau cristallin des phtalocyanates de platine et de cuivre au microscope électronique	97
C. Eyraud. Voir L. Sicard	696
L. Eyraud. Voir L. Sicard	696
M ^{lle} D. Fabre, J. Romand et B. Vodar, Méthode de détermination dans l'ultraviolet lointain des constantes optiques de couches minces évaporées (<i>Lettre</i>)	263
M. Fabre de la Ripelle, Mouvement collectif dans la résonance géante photonucléaire ...	302
H. Faraggi. Voir R. Barloutaud	369
H. Faraggi. Voir R. Beurtey	399
J. M. Farley, Notions sur les circuits d'impulsion (<i>Revue</i>)	129
C. Fehrenbach, Le nouveau spectrographe installé au foyer coudé du télescope de 1,93 m de l'Observatoire de Haute-Provence	111 S
N. Felici. Voir J. E. David	435

F. Filippi. Voir R. Lennuier	47 S
P. Fintz. Voir S. Gorodetzky	358
M ^{lle} F. Flamant, Étalons de différences de phase	45 S
J. Fleury. Voir R. Bouchez	346 et 819
J. Fleury. Voir J. Duclos	385
J. Fleury, P. Perrin, M. Boge et J. Laugier, Spectromètre α à scintillation avec ICs(Tl) ..	480
J. Fontan. Voir D. Blanc	176 A
G. Forrez. Voir A. Van Itterbeek	81
E. Fort. Voir D. Blanc	52 A
R. Foucher, Moments quadrupolaires de quelques noyaux lourds et modèles collectifs ...	445
R. Foucher, Probabilités de transition $\gamma(M_2)$ dans quelques noyaux lourds (<i>Lettre</i>)	000
J. Fournol, Expériences réalisées sur la résonance magnétique électronique de l'ion naphthalène dans la bande des 3 000 MHz	71 S
M. Françon. Voir M. Cagnet	45 S
J. Friedel, Interactions à grandes distances dans les substances métalliques	125 S
J. Friedel. Voir A. Blandin	689
L. Galatry. Voir Hai-Vu	5 S
A. Gallmann. Voir S. Gorodetzky	349 et 358
M ^{me} M. Gandais. Voir P. Croce	45 S
M. Garnier, H. Gauvin et W. Sebaoun, Section efficace de la réaction $^{12}\text{C}(\gamma, 3\alpha)$ à 14,8 et 17,6 MeV (<i>Lettre</i>)	893
J.-P. Garron, J.-C. Jacmart, L. Massonnet, M. Riou et Ch. Ruhla, Diffusion élastique et inélastique des protons de 155 MeV sur le carbone	317
M. Gaudaire, Spectromètre de masse à lentilles quadrupolaires excitées en haute fréquence (<i>Lettre</i>)	70 A
H. Gauvin. Voir M. Garnier	893
R. Gayraud. Voir C. Bergamaschi	305
M ^{me} J. Génin. Voir C. Bergamaschi	305
J. Génin. Voir P. Radvanyi	322
R. Génin, R. Joly et M. Ribrag, Le spectromètre à cristal de la pile EL 3	473
P. Gepts. Voir J. Colard	863
C. Gérardin. Voir R. Bilwes	376
V. Gillet. Voir R. Balian	351
L. Giraudier, De l'utilisation des fours à haute pression dans la préparation des composés intermétalliques semi-conducteurs	149 A
L. Godefroy et J. Tavernier, Effets magnétoélectriques et thermomagnétoélectriques dans les semi-conducteurs. I	249
II	544
L. Godefroy. Voir J. Tavernier	660
R. Goffaux, Émission électronique de jonctions P-N	94
M ^{lle} L. Goldman. Voir R. Bouchez	346
T. J. Gooding et H. G. Pugh, Diffusion quasi-élastique de protons de 153 MeV par des protons dans l'état p de ^{12}C	326
S. Gorodetzky, A. Gallmann, P. Fintz et J. Samuel, Courbes d'excitation de certains rayonnements γ dans la réaction $^{12}\text{C}(d, p)^{13}\text{C}$	358
S. Gorodetzky, R. Manquenouille, R. Richert et A. Knipper, Vie moyenne du niveau excité à 595 keV de ^{115}In	439
S. Gorodetzky, R. Richert, R. Manquenouille et A. Knipper, Convertisseur temps-amplitude à pouvoir de résolution élevé	388
S. Gorodetzky, J. Samuel et A. Gallmann, Corrélation angulaire ($d, p\gamma$) dans la réaction $^9\text{Be}(d, p)^{10}\text{Be}$	349
S. Gorodetzky, G. Sutter, F. Scheibling, P. Chevallier et R. Armbruster, Sur les courbes d'excitation en rayonnement γ et en paires de conversion interne de $^{19}\text{F}(p, \alpha)^{16}\text{O}$, $^{40}\text{Ca}(p, p')^{40}\text{Ca}$ et mesure d'intensité relatives en paires externes dans la réaction $^{16}\text{O}(d, p)^{17}\text{O}$	360
P. Gosar. Voir M ^{lle} A. Quilliet	575
G. Goudet et P. Laurenceau, Étude des propriétés triboélectriques de divers tissus synthétiques	87 A
B. Goulard. Voir G. Goulard	452
G. Goulard et B. Goulard, Calculs sur la capture des muons par les noyaux	452
E. Gradsztajn, Détermination par spectrométrie de masse des sections efficaces de production de fragments lourds par des protons de 155 MeV sur ^{16}O	761
R. Grandmontagne, Intégrateur adapté à l'étude des fonctions d'onde	36 S
I. Gratot. Voir J. Olkowsky	405
L. Grenacs. Voir J. Colard	863
M ^{me} M. L. Grenier-Besson, Résonances et dédoublements rotationnels du type l dans les molécules à symétrie axiale	555
M ^{me} M. L. Grenier-Besson, G. Amat et S. Maes, Énergie de vibration-rotation des molécules polyatomiques. Note sur les tables des coefficients de l'hamiltonien transformé du second ordre (<i>Lettre</i>)	568
M ^{me} M.-L. Grenier. Voir G. Amat	12 S
K. Grotowski. Voir A. Budzanowski	366
E. Groubert et P. Caillon, Mesures des propriétés diélectriques des substances à fortes pertes	155 A

Guillou. Voir R. Beurtey	402
A. Guinier, Vers la vision des atomes	125 S
M. Gusakow. Voir M ^{lle} G. Albouy (<i>Lettre</i>)	751
M. Gusakow. Voir M ^{me} N. Poffé	343
H. P. Gush, Spectre infrarouge de l'hydrogène solide	62 S
H. P. Gush. Voir M ^{me} J. Connes	645
J. Guy. Voir J. Baudet	105 et 600
J. Guy, J. Baudet et J. Tillieu, Sur les approximations utilisées dans les calculs des susceptibilités diamagnétiques moléculaires	59
J. Guy. Voir M ^{me} F. Dupont-Bourdelet	776
A. Hadni, C. Janot et E. Decamps, Spectrométrie dans l'infrarouge lointain (50 à 350 μ)	13 S
C. Hauesler, Y. Cornet et P. Barchewitz, Étude d'un dispositif d'étalonnage des spectres de vibration-rotation dans l'infrarouge proche	809
Haï-Vu, L. Galatry et B. Vodar, Quelques données récentes sur les spectres d'absorption des mélanges gazeux sous hautes pressions	5 S
R. Hanbury Brown, L'interféromètre d'intensité et son application à la mesure des diamètres stellaires	37 S
M ^{lle} J. Hayotte, F. Legay et P. Barchewitz, Anomalies de dispersion dans les bandes de vibration-rotation des gaz	1 S
O. S. Heavens, Emploi de l'épitaxie pour les recherches sur les couches minces	48 S
J. Hennessy. Voir C. Baglin	198
J. Henry. Voir H. Arzeliers (<i>Revue</i>)	578
L. Henry. Voir G. Amat	12 S et 728
L. Herman et D. Rakotoarijimy, Excitation sélective d'émissions moléculaires par les atomes métastables de gaz rares	629
A. Herpin, P. Meriel et J. Villain, Antiferromagnétisme hélicoïdal (<i>Lettre</i>)	82 S et 67
M. Heyman, H. Jérémie, J. Kahane et R. Sené, Diffusion inélastique des neutrons de 14 MeV par l'excitation du niveau de 9,6 MeV du carbone	380
A. M. Hoogenboom. Voir P. M. Endt	432
J. Huetz. Voir M ^{me} M. Huetz-Aubert	1
M ^{me} M. Huetz-Aubert et J. Huetz, Les mesures des temps de relaxation des gaz	1
V.-D. Huynh. Voir C. Corge	426
V.-D. Huynh. Voir J. Julien	423
A. Ivanoff, Contribution à l'étude de la diffusion de la lumière par les eaux de mer	54 S
J.-C. Jaemart. Voir J.-P. Garron	317
P. Jacquino. Voir R. Chabbal	61 S
B. Jacrot. Voir D. Cribier (<i>Lettres</i>)	82 S, 67 et 69
C. Janot. Voir A. Hadni	13 S
J. Jastrzebski, Étude de la désintégration du ¹³⁹ Ba	12
M. Jean, Les excitations vibrationnelles des noyaux pair-pair	416
H. Jérémie. Voir M. Heyman	380
Ch. Joachain. Voir M. Demeur	451
R. Joly. Voir R. Génin	473
R. Joly. Voir A. Michaudon	429
A. Jones. Voir J. Colard	863
M. Jouguet, Traité d'Électricité théorique, tome III : Principe de relativité et lois générales de l'Électromagnétisme et de l'Électrodynamique (<i>Revue</i>)	531
R. Jouty, Oscillateurs sinusoïdaux stabilisés en amplitude, pour l'alimentation de ponts d'impédances	113 S
R. Jouty, Montage d'extensométrie à deux voies à grande sensibilité	114 S
M ^{lle} A. Juillard, Préparation de sources minces de ³⁵ S et étude aux très faibles énergies ..	467
J. Julien, C. Corge, V.-D. Huynh, F. Netter et J. Simic, Largeurs partielles de transition pour les niveaux de spin $J = 1$ de ¹⁸⁴ W et ¹⁹⁶ Pt excités par la capture des neutrons intermédiaires	423
J. Julien. Voir C. Corge	426
J. Julien. Voir C. Corge (<i>Lettre</i>)	759
P. Jung, Régulateur de courant transistorisé pour aimant Varian de 12 pouces	39 A
H. Juricic, Une méthode d'autocollimation pour régler l'incidence normale à un échantillon réfléchissant	39 S
J. Kahane. Voir M. Heyman	380
I. Kaplan. Voir M. Duquesne	708
A. Kastler, Résultats récents obtenus par les méthodes optiques de la résonance magnétique	55 S
A. Kastler, Orientation nucléaire par la lumière	125 S
A. Knipper. Voir S. Gorodetzky	388 et 439
M ^{me} L. Koch, Étude spectrale de la luminescence due à l'excitation des gaz rares par les rayons α	169
L. Kowalski, Réalisation et étude d'une chambre à fission à bismuth, détecteur de neutrons de grande énergie	779
R. Koyama et R. Cerf, Correctif à un article sur la mécanique statistique des macromolécules en chaînes dans un champ de vitesses (<i>Lettre</i>)	503
J. Krafft. Voir R. Bouchez	346
J. Krafft. Voir J. E. David	435
M. D. Kunisz et J. Séguier, Rapports des intensités des composantes des triplets	

($1s^2p^3P_{2,1,0}^0$ — $1s4s^3S_1$) λ 4 713 Å et ($1s2p^3P_{2,1,0}^0$ — $1s4d^3D_{3,2,1}$) λ 4 472 Å de l'hélium dans différentes conditions d'excitation du spectre	527
M ^{me} J. Laberrigue-Frolow, M. P. Balandine et S. Z. Otvinovski, Sur l'absorption des mésons π^+ d'énergie voisine de 50 MeV par les noyaux de carbone	54
E. Lacombe. Voir M ^{me} D. Magnac-Valette	125
R. Lacoste. Voir D. Blanc	52 A
R. Lacueille. Voir A. Rousset	55 S
J. Lafoucrière. Voir C. Bastard	36 S et 112
M ^{lle} D. Lagarde. Voir R. Lennuier	47 S
A. Lagarrigue. Voir C. Baglin	19 S
A. Lagarrigue. Voir M. Bloch	31 S
J. Lagasse. Voir D. Blanc	52 A
M. Lambert. Voir R. Barjon	356
G. Landaud et C. Mabboux, Analyse du coefficient de corrélation de la fonction aléatoire $X(t) = \pm 1$. Application à l'étude de lois de désintégration de radioéléments (<i>Lettre</i>)	615
M ^{mes} H. Langevin-Joliot et N. Marty et M. X. de Bouard, Étude des réactions $pp\gamma$ provoquées par des protons de 155 MeV. Cas de la résonance géante	320
M ^{me} H. Langevin-Joliot. Voir C. Bergamaschi	305
M. Langevin. Voir A. Bussière de Nercy	288 et 293
J. Lardinois, Évaluation du déplacement isomérique	451
L. Lassabatère, Estimation de la durée de vie de quelques plasmas par l'observation de la décroissance de l'effet Faraday à 9 000 MHz	100 S
H. J. Latière, Structure des bandes de déformation dans les monocristaux d'aluminium écroutés par traction	106 S
J. Laugier. Voir J. Fleury	480
P. Laurenceau. Voir G. Goudet	87 A
G. Laustriat et A. Coche, Influence de la température sur les scintillateurs liquides	487
J. Lecomte et M ^{me} J. Vincent-Geisse, Quelques méthodes utilisées au Laboratoire des Recherches Physiques de la Sorbonne pour la mesure des indices de réfraction dans l'infrarouge	1 S
J. Lecomte. Voir M ^{me} J. Vincent-Geisse	62 S
J. Lecomte. Voir M ^{me} J. Vincent-Geisse (<i>Mise au point bibliographique</i>)	794
M. Lecomte. Voir G. Mayer	242 et 846
J. Legorguillier, Les redresseurs de courant dans l'industrie (<i>Revue</i>)	834
M. Lefort, Réactions nucléaires provoquées par ions « lourds » ; intérêt et divers aspects (<i>Mise au point bibliographique</i>)	665
M. Lefort, G. Simonoff et X. Tarrago, Étude par les réactions secondaires de la formation et de la répartition en énergie des fragments alpha produits par protons de 150 MeV sur le bismuth	337
M. Lefort, G. Simonoff et X. Tarago, Compétition fission-spallation dans les cibles de thorium bombardées par protons de 155 MeV	338
F. Legay, Étude spectrographique du radical PH	82 S
F. Legay. Voir M ^{lle} J. Hayotte	1 S
M ^{lle} G. Legros. Voir J. Depraz	377 et 412
S. Le Montagner, Phénomènes de relaxation dipolaire en fonction de la température	609
S. Le Montagner et M ^{lle} M.-M. Rousselot, Sur quelques propriétés diélectriques de l'alun de méthyl ammonium (<i>Lettre</i>)	756
R. Lennuier, M ^{lle} D. Lagarde et F. Filippi, Propriétés optiques des couches minces d'aluminium déposées par évaporation sous vide	47 S
M. Le Pape. Voir J. Olkowsky	405
L. Leprince-Ringuet, Les particules étranges	117 S
J. Leroy, Nombres moyens de neutrons prompts émis dans la fission de ^{238}U , ^{239}Pu , ^{232}Th	617
J. L. Leroy, Voir B. Cheynier	393
Les Houches (École de physique théorique). — Le problème à N corps. (The many body problem) (<i>Revue</i>)	84
J. Linck. Voir R. Bilwes	376
R. L. Lindsay, Mechanical radiation (<i>Revue</i>)	688
P. Lipnik. Voir J. Colard	863
P. Lipnik. Voir J. P. Deutsch (<i>Lettre</i>)	806
P. Lipnik. Voir M. De Croës	442
R. Lochet. Voir A. Rousset	55 S
R. Lochet et A. Rousset, Phosphoroscopes et cryostats destinés à l'étude de la luminescence moléculaire à la température de l'azote liquide	102 S
G. Lomaglio, Au sujet de l'hamiltonien de spin applicable à un monocristal appartenant au système orthorhombique (<i>Lettre</i>)	804
G. Lomaglio et J. Uebersfeld, La résonance paramagnétique électronique d'un monocristal de glycolle irradié par des rayons gamma (<i>Lettre</i>)	802
J. P. Lonchamp. Voir R. Pfohl	717
G. Loric. Voir I. Epelboin (<i>Lettre</i>)	82 S et 74
J. Loriers. Voir G. Villers (<i>Lettre</i>)	753
P. Loudette et F. Picherit, Interféromètre ultrahertzien à faisceaux séparés	92 S
C. Mabboux. Voir G. Landaud (<i>Lettre</i>)	615
S. Maes. Voir M ^{me} M. L. Grenier-Besson (<i>Lettre</i>)	518

D. Magnac-Valette. Voir R. Bilwes	376
M ^{me} D. Magnac-Valette, E. Lacombe, R. Bilwes et P. Cüer, Détermination des sections efficaces de la réaction $D + D = p + T + 4,03 \text{ MeV}$ à des énergies inférieures à 15 keV	125
M ^{me} D. Magnac-Valette, M. Monnier, P. Caffier et P. Cüer, Calcul de certains coefficients $\langle \sigma v \rangle$ figurant dans les taux de réactions thermonucléaires	199
R. Maillard. Voir A. Papineau	410
A. Mangeney, Tenseur de conductivité d'un plasma chaud, homogène et faiblement ionisé	870
C. Mangin, Influence de la température sur la structure des bandes de diffusion du carbonyle cétonique et de celles du cycle benzénique (<i>Lettre</i>)	143
R. Manquenouille. Voir S. Gorodetzky	388 et 439
J. P. Marcon. Voir R. Montmory	74 S
A. Maréchal, A propos des techniques de mesure du facteur de contraste des instruments	54 S
M ^{me} M. Margottin-Maclou, Calcul du champ de force et interprétation des spectres de vibration de l'alcool méthylique (CH^3OH , CH^3OD , CD^3OH et CD^3OD)	634
M ^{me} P. Marguin, Quelques mesures récentes sur l'effet Auger dans les couches <i>K</i> et <i>L</i> des éléments moyens	469
M ^{me} P. Marguin et A. Moussa, Étude des électrons de conversion et des électrons Auger <i>K</i> et <i>L</i> de la désintégration $^{170}\text{Tm} - ^{170}\text{Yb}$	17
M ^{me} P. Marguin et M. A. Moussa, Étude des électrons Auger <i>K</i> et <i>L</i> du ^{137}Ba	149
L. Mariot, Polarisation de la lumière en relativité générale	80 S
L. Marquez, Réactions nucléaires produites par des ions lithium	355
A. V. J. Martin, Introduction à la théorie du teneutron	21 A
A. V. J. Martin, Le teneutron comme élément de circuit	113 A
M. Martineau. Voir F. Davoine	121
M ^{me} N. Marty. Voir C. Bergamaschi	305
M ^{me} N. Marty. Voir M ^{me} H. Langevin-Joliot	320
L. Massonnet. Voir J.-P. Garron	317
J. Mathieu. Voir D. Blanc (<i>Lettre</i>)	675
J. P. Mathieu, P. Desnuelle et J. Roche, Tables de constantes et données numériques : Constantes sélectionnées, pouvoir rotatoire naturel : III. Aminoacides (<i>Revue</i>)	673
J. P. Mathieu et G. Ourisson, Tables de constantes et données numériques : Constantes sélectionnées. Pouvoir rotatoire naturel. II. Triterpènes (<i>Revue</i>)	673
G. Mavel, Courbes théoriques de complexation et de désassociation en résonance magnétique nucléaire	37
G. Mavel, Étude, par résonance magnétique nucléaire (R. M. N.), de l'échange des protons dans les mélanges eau-alcool	731
G. Mayer et M. Lecomte, Énergie interne et constantes élastiques du silicium irradié aux neutrons rapides	242
G. Mayer et M. Lecomte, Effet des neutrons rapides sur le quartz cristallin et la silice vitreuse	846
R. Mendez. Voir H. Arzeliers (<i>Revue</i>)	578
A. Mercier, Formalisme analytique et canonique en physique (<i>Revue</i>)	16
J. Mercier, Propagation par ondes sphériques ; phénomènes transitoires	95 S
P. Meriel. Voir A. Herpin (<i>Lettre</i>)	82 S et 67
G. Mesnard. Voir G. Déjardin	34 S
G. Mesnard et A. Dolce, La recombinaison des paires électron-trou dans le germanium ...	33 S
G. Mesnard et A. Dolce, L'impédance des contacts métal-germanium en fonction de la fréquence	35 S
A. Messiah, Mécanique quantique (Tome II) (<i>Revue</i>)	30
J. Meyer, Diffusion élastique de mésons π^- sur des protons sur la première résonance $T = 1/2$	18 S
Y. Meyer. Voir A. Rousset	55 S
M. Meziat, Étude réfractométrique de divers éthers-oxydes	63 S
A. Michalowicz. Voir C. Bergamaschi	305
A. Michalowicz. Voir C. Caverzasio	314
A. Michaudon, R. Bergère, A. Coin et R. Joly, Mesure et analyse de la section efficace de fission de l'uranium-235	429
L. Michel, Compte rendu du Congrès de Kiev : 2. — Interactions faibles	13 S
J. Miller, C. Schuhl, G. Tamas et C. Tzara, Résultats préliminaires sur une source de photons monochromatiques par annihilation en vol de positons	296
J. Miller, C. Schuhl, G. Tamas et C. Tzara, Photons monochromatiques d'énergie variable obtenus par annihilation en vol de positons (<i>Lettre</i>)	755
J. Miller. Voir G. Tamas	299 et 532
S. Mirza. Voir C. Corge	426
P. Mittner. Voir C. Baglin	19 S
R. Moch, Compteurs de Cerenkov à gaz sous pression et diffusion des mésons μ	16 S
E. Monnard. Voir A. Moussa	463
M. Monnier. Voir M ^{me} D. Magnac-Valette	199
G. Monod-Herzen, Spectrophotomètre enregistreur automatique (<i>Lettre</i>)	142
G. Monsonego, Modèle unifié pour les phénomènes de photodésintégration nucléaire vers 20 MeV	765

R. Montmory. Voir J. C. Bruyère	117 S
R. Montmory et J. P. Marcon, Propriétés glaçogènes des particules émises par décharge disruptive	74 S
E. Moreau et J. Salmon, Action de l'opérateur de collision élastique de Boltzmann sur une fonction isotrope des vitesses, dans un gaz de Lorentz imparfait	217
J. L. Motchane et J. Uebersfeld, Équations macroscopiques de la double résonance. Interprétation thermodynamique	194
J.-L. Motchane et J. Uebersfeld, Polarisation nucléaire par « double effet », en présence de diffusion, dans le cas où la raie de résonance électronique est inhomogène (Lettre)	801
A. Moussa. Voir M ^{me} P. Marguin	17 et 149
A. Moussa et E. Monnard, Transitions gamma de faible énergie dans ¹⁵³ Eu	463
A. Moussa. Voir J. Ravier	463
P. Mulot, R. Poussot et A. P. Schmitt, Dispositif pneumatique d'irradiation pour la mesure des flux de neutrons thermiques dans une pile	79 A
G. Munshy, P. Pluvillage et J. Proriot, Fonctions de base de symétrie définie pour les fonctions d'onde d'un système de trois particules identiques	85
P. Musset. Voir C. Baglin	19 S
V. Naggiar, Diffusion inélastique de neutrons à basse énergie	384
P. Naslin, Principe des calculatrices automatiques (Revue)	173
R. Nataf, Renormalisation d'une interaction forte nucléon, hyperon, méson K, qui ne conserverait pas la parité	174
F. Netter. Voir C. Corge	426
F. Netter. Voir C. Corge (Lettre)	759
F. Netter. Voir J. Julien	423
U. Nguyen-Khac. Voir P. Depommier	456
Nguyen Ngoc Chau, Spectromètre de résonance paramagnétique à cavité rectangulaire pour la bande X. Applications diverses	67 S
Nguyen Ngoc Chau. Voir R. Servant	70 S
H. H. Nielsen, Résonance de Coriolis entre la vibration parallèle ω_2 et la vibration perpendiculaire ω_4 dans les molécules pyramidales	8 S
H. H. Nielsen, Spectroscopie infrarouge et structure moléculaire	37 S et 24
H. Niewodniczanski. Voir A. Budzanowski	366
G. Nomarski, Interféromètre différentiel pour contrôle des systèmes optiques	55 S
J. Nurzynski. Voir A. Budzanowski	396
M. Olivier, Étude de l'instabilité en phase d'une chaîne de multiplication de fréquence ...	78 S
B. Olkowsky, Une source d'ions produisant en particulier des ions He ⁺⁺ pour accélérateur électrostatique	407
J. Olkowsky, I. Gratot, M. Le Pape et L. Cohen, Détermination de sections efficaces de réactions procédant par interaction directe dans la région des terres rares	405
A. Omont. Voir Y. Archambault (Lettre)	677
A. Orkin-Lecourtois. Voir C. Baglin	19 S
S. Z. Otvinovski. Voir M ^{me} J. Laberrigue-Frolow	54
G. Ourisson. Voir J. P. Mathieu (Revue)	673
A. Pagani, Stabilisation de la tension de sortie d'un alternateur par un montage électronique	204 A
A. Pages, Analyseurs transfert multidimensionnels	475
A. Papineau, P. Benezech et R. Maillard, Source d'ions multichargés pour un cyclotron ..	410
A. Papineau. Voir R. Beurtey	399
A. Papineau. Voir R. Chaminade	396
J. Pardies, Amplificateur à grand gain et à bande très étroite pour photomultiplicateur ..	90 S
X. Paré. Voir P. Ducros	117 S
J. C. Pébay-Peyroula. Voir Y. Archambault (Lettre)	677
E. B. Penrod et Cho Yen Ho, Théorie mathématique d'un réfrigérateur à effet Peltier et d'un générateur thermo-électrique	97 A
P. Perio et M. Tournarie, Les antiphases périodiques ou alliages à longues périodes (Lettre)	82 S et 71
F. Perrin, Expériences en cours ou effectuées à Saturne : Introduction	13 S
P. Perrin. Voir R. Bouchez	346 et 819
P. Perrin. Voir J. Fleury	480
G. Y. Petit, Étude de quelques niveaux obtenus au cours de la désintégration alpha du ²²⁷ Th (RaAc)	447
R. Pfohl et J. P. Lonchamp, Étude photographique des traces de fission de l'uranium 235 dans les plaques ionographiques	717
Pham Xuân Yêm, Interactions entre matière et rayonnement en théorie fonctionnelle ..	185
R. Philip, Influence de la vitesse de formation de couches minces d'argent obtenues par évaporation thermique, sur leurs facteurs de transmission et de réflexion	165
R. Philip, Influence de la vitesse de formation sur les propriétés optiques de couches minces d'or obtenues par évaporation thermique	41 S
R. Philip et R. Rivoira, Description d'un appareillage destiné à étudier sous vide les propriétés optiques d'une couche mince	108 S
F. Picherit, Réalisation d'un polarimètre hertzien de haute précision dans la bande des 10 000 MHz. Applications à l'étude de l'effet Faraday de bâtonnets de ferrite 4B ..	66 S
F. Picherit. Voir P. Loudette	92 S

R. Pick et M. Savelli, L'étude des phénomènes de surface dans les semi-conducteurs par la technique de l'effet de champ (<i>Mise au point bibliographique</i>)	743
E. Pillet et M. Sabatier, Mesure du décalage interne dans un alternateur à l'aide d'un chronomètre électronique	117 S
P. Pinard. Voir F. Davoine	121
A. Pirie, Le menace radioactive (<i>Revue</i>)	654
R. L. Platzman, Probabilité d'ionisation par transfert d'énergie d'atomes excités à des molécules	853
P. Pluvinaige. Voir G. Munsch	85
M ^{me} N. Poffé, M ^{lle} G. Albouy, MM. R. Bernas, M. Gusakow, M. Riou et J. Teillac, Réactions (p, zn) induites dans l'or par des protons de 155 MeV	343
M ^{me} N. Poffé. Voir M ^{lle} G. Albouy (<i>Lettre</i>)	751
K. M. Polivanov, Processus dynamiques d'aimantation des matériaux à cycles rectangulaires	36 S
A. Ponslet. Voir A. Art	134 A
R. Poussot. Voir P. Mulot	79 A
H. Prat. Voir E. Calvet (<i>Re ue</i>)	173
K. Prelec. Voir B. Cheynier	393
M. Priou. Voir Y. Archambault (<i>Lettre</i>)	677
G. Proca. Voir R. Belbeoch	489
J. Proriot. Voir G. Munsch	85
P. Prugne, Programme de construction de chambres à bulles à hydrogène liquide du C. E. N. de Saclay	29 S
H. G. Pugh. Voir T. J. Gooding	326
M ^{lle} A. Quilliet et P. Gosar, L'effet photovoltaïque de surface dans le silicium et son application à la mesure de la durée de vie des porteurs minoritaires	575
P. Radvanyi. Voir C. Bergamaschi	305
P. Radvanyi et J. Génin, Étude des deutons et des tritons émis lors du bombardement de noyaux de carbone par des protons de 155 MeV	322
D. Rakotoarijimy. Voir L. Herman	629
P. Rançon. Voir C. Baglin	19 S
P. Rançon. Voir M. Bloch	31 S
J. Ravier et A. Moussa, Niveaux excités de faible énergie du ⁹⁹ Tc	463
J. Raynal, Détermination de la polarisation des deutérons après une réaction nucléaire ..	373
J. Raynal. Voir R. Beurtey	402
L. Rebuffé, Ampèremètres utilisant la répulsion entre courants parallèles (<i>Lettre</i>)... ..	85 S et 77
F. Reide. Voir T. Yuasa	123 A
G. A. Renucci, Description d'une alimentation de jauge à ionisation à sensibilité logarithmique	219 A
R. Reulos, Sur le ralentissement des horloges par les masses gravitationnelles. Interprétation quantique du « déplacement vers le rouge » (red shift), application au paradoxe des horloges	76 S
M. Ribrag. Voir R. Génin	473
J. A. Richards. Voir M. R. Wehr (<i>Revue</i>)	168
R. Richert. Voir S. Gorodetzky	388 et 439
R. Rinaldi, Variation des constantes optiques des lames minces organiques absorbantes en fonction de leur épaisseur	41 S
M. Riou. Voir C. Bergamaschi	305
M. Riou. Voir J.-P. Garron	317
M. Riou. Voir M ^{me} N. Poffé	343
R. Rivoira. Voir R. Philip	108 S
J. Robert, Mesure calorimétrique de la période de ¹⁹⁸ Au (<i>Lettre</i>)	808
J. Robin, Influence de la pression sur quelques propriétés des semiconducteurs (<i>Mise au point bibliographique</i>)	130
L. Robin, Tables numériques des fonctions associées de Legendre (<i>Revue</i>)	84
L. Robin, Fonctions sphériques de Legendre et fonctions sphéroïdales (tome III) (<i>Revue</i>) ..	84
M ^{me} S. Robin-Kandare, Spectre d'absorption du sélénium et du tellure dans l'ultraviolet Interprétation des résultats à l'aide du schéma réduit des bandes d'énergie	31
J. Roche. Voir J. P. Mathieu (<i>Revue</i>)	673
M ^{me} H. Rodot et G. Weill, Variation avec la température des propriétés thermoélectriques des solutions solides Bi ₂ Te ₃ /Sb ₂ Te ₃ (<i>Lettre</i>)	502
A. Rogozinski, Emploi d'une chambre à bulles à propane de 16 litres	19 S
J. Romand. Voir M ^{lle} D. Fabre (<i>Lettre</i>)	263
B. Rose. Voir L. Birds	329
L. Rosen. Voir R. Barloutaud	369
L. Rosen et J. E. Brolley, Jr., Diffusion élastique de protons polarisés de 10 MeV par ³ He ..	365
P. Rouard. Voir P. Bousquet	873
M ^{lle} M.-M. Rousselot. Voir S. Le Montagner (<i>Lettre</i>)	756
A. Rousset. Voir C. Baglin	19 S
A. Rousset. Voir M. Bloch	31 S
A. Rousset, R. Lochet, R. Lacueille et Y. Meyer, Transferts d'activation dans les cristaux moléculaires : étude de la fluorescence « retardée » des impuretés en solution solide	55 S
A. Rousset. Voir R. Lochet	102 S

J. Ruamps, Calcul de la position et de la largeur de l'enveloppe des bandes d'une transition électronique (cas d'une molécule diatomique)	52 S
C. Ruhla. Voir J.-P. Garron	317
C. Ryter, Déplacement de la raie de résonance électronique par polarisation nucléaire dans le lithium	82 S
J. Rzewuski, Théorie des champs (I. Partie classique) (<i>Revue</i>)	16
M. Sabatier. Voir E. Pillet	117 S
D. Saint-James. Voir D. Cribier (<i>Lettre</i>)	82 S et 67
R. Salin. Voir J. Depraz	377 et 412
J. Salmon, Étude générale du retour à l'équilibre d'une particule au sein d'un plasma (formalisme de Fokker-Planck)	699
J. Salmon. Voir E. Moreau	217
J. Samuel. Voir S. Gorodetzky	349 et 358
J. Samuëli et A. Sarazin, Mesure de durée de vie d'états excités par conversion temps-amplitude	390
A. Sarazin. Voir J. Samuëli	390
R. Sardos, Étude réfractométrique de quelques cétones dans le spectre visible	65 S
R. Sardos, Dispositif d'étude de la biréfringence magnétohertzienne d'un ferrite dans la bande des 10 000 MHz	96 S
G. Sarma, Diffusion des neutrons lents par l'hydrogène liquide	783
J. L. Sarrouy. Voir R. Bernas	191 A
J. Saudinos. Voir R. Beurtey	399
X. Sauteron. Voir C. Baglin	19 S
M. Sauzade, Stabilisateurs de courant à transistors pour électro-aimants de puissance moyenne (1 à 10 kW)	161 A
M. Savelli. Voir R. Pick (<i>Mise au point bibliographique</i>)	743
E. Schatzman, Les réactions nucléaires importantes en Astrophysique	361
F. Scheibling. Voir S. Gorodetzky	360
A. P. Schmitt. Voir P. Mulot	79 A
A. Schmouchkovitch. Voir F. Dachert	57 A
J. Schmouker. Voir R. Barjon	356
C. Schuhl. Voir J. Miller	296 et 755
C. Schuhl. Voir G. Tamas	299 et 532
W. Sebaoun. Voir M. Garnier	893
J. Séguier. Voir M. D. Kunisz	527
J. Seiden, La température de Curie d'un réseau d'Ising imparfait (<i>Lettre</i>)	141
R. Seltz. Voir R. Bilwes	376
E. Selzer, Rôle des champs démagnétisants dans l'auto-asservissement et la linéarisation des circuits magnétiques ouverts à grandes perméabilités (<i>Lettre</i>)	85 S et 79
R. Sené. Voir M. Heyman	380
A. Septier, Les lentilles magnétiques quadrupolaires sans fer : réalisation de répartitions d'induction à gradient constant	1 A
M ^{lle} A. Serres, Étude thermomagnétique du système CoO-NiO	551
R. Servant, C. Augoyard et Nguyen Ngoc Chau, Sur la variation avec la température de la structure hyperfine des signaux de résonance électronique du glycolcolle irradié aux rayons γ	70 S
R. Servant et J. W. Weevers, Anisotropie diélectrique des cartons à 3 000 MHz	95 S
S. M. Shafroth, Expériences avec des ions lithium de 2 MeV	353
S. M. Shafroth. Voir R. Barloutaud	369
L. Sicard, L. Eyraud, J. Elston et C. Eyraud, Influence de la variation du coefficient de conductivité thermique avec la température sur la propagation de la chaleur en régime périodique	696
L. Sideriades, Aspect analytique des caractéristiques des triodes et des pentodes	111 S
J. Simic. Voir C. Corge	426
J. Simic. Voir J. Julien	423
J. Simon, Application d'un dispositif de gradation de contraste à la mesure visuelle du facteur de modulation des instruments	54 S
G. Simonoff. Voir M. Lefort	337 et 338
J. Six. Voir C. Baglin	19 S
K. F. Smith, Jets atomiques (traduit par J. Blamont) (<i>Revue</i>)	173
J. Smits. Voir A. Van Itterbeek	81
M. Spighele, Corrélation angulaire bêta-gamma à la résonance : ^{85}Kr et ^{76}As	449
M. Spighele. Voir A. Bussièr de Nercy	288
L. Spitzer (traduit par J. E. Blamont), Physique des gaz complètement ionisés (<i>Revue</i>) ..	30
Statistique et répartition des Membres au 1 ^{er} novembre 1959	128 S
R. Stein, H. Braun et P. Cürer, Sur l'étude de la dissymétrie de l'état excité de 3 MeV du ^8Be obtenu par ^8Li formé aux interactions à haute énergie	374
R. Stiening et M. Deutsch, Temps de vie des niveaux du ^{116}Sn (<i>Lettre</i>)	261
G. W. Stroke, Mesures interférométriques et transformations de Fourier électroniques dans l'évaluation des images de diffraction formées par des réseaux optiques dans des arrangements spectroscopiques courants et nouveaux	57 S
A. S. Strub, Étude de la résonance ferromagnétique dans les matériaux conducteurs (bande X : $f = 10\,000\text{ MHz}$). Mesures d'échantillons monocristallins de ferrosilicium	43 A

J. Suchet, Régulation d'intensité sans distorsion (<i>Lettre</i>)	69 A
M. Suffert. Voir R. Bilwes	376
M. Suffert. Voir P. M. Endt	432
G. Sutter. Voir S. Gorodetzky	360
F. Suzor, Étude expérimentale du spectre des électrons d'autoionisation en radio-activité β	223
F. Suzor, Étude expérimentale du spectre des électrons d'autoionisation en radio-activité β	465
R. de Swiniarski. Voir R. Bouchez	819
D. Tabor. Voir F. P. Bowden (<i>Revue</i>)	688
G. Tamas, J. Miller, C. Schuhl et C. Tzara, Absorption nucléaire des photons par ^{12}C et ^{27}Al	299 et 532
G. Tamas. Voir J. Miller	296 et 755
X. Tarrago. Voir M. Lefort	337 et 338
J. Tavernier et L. Godefroy, Effets galvanomagnétiques en haute fréquence	660
J. Tavernier. Voir L. Godefroy	249 et 544
A. E. Taylor. Voir L. Birds	329
J. Teillac. Voir C. Bergamaschi	305
J. Teillac. Voir M ^{me} N. Poffé	343
J. P. Terletsky, Le principe de causalité et le second principe de la thermodynamique	681
J. P. Terletsky, Sur la théorie statistique des champs non linéaires	771
M ^{lle} D. Teulie. Voir M ^{lle} Y. Daquo	64 S
J. G. Theobald et J. Uebersfeld, Modulation haute fréquence en résonance magnétique électronique (<i>Lettre</i>)	676
J. Thirion. Voir R. Beurtey	399
J. Thomas. Voir Y. Ayant	115 S
J.-C. Thrierr. Voir M. Cagnet	45 S
J. Tillieu. Voir J. Baudet	105 et 600
J. Tillieu. Voir M ^{me} F. Dupont-Bourdelet	776
J. Tillieu. Voir J. Guy	59
D. Tinturier, Un enregistreur hodoscopique simple	173 A
M ^{me} M. A. Tonnelat, Les principes de la théorie électromagnétique et de la relativité (<i>Revue</i>)	654
M. Torossian, Utilisation de céramiques au titanate de baryum en aérodynamique	74 S
M. Tournarie. Voir P. Bergé	181 A
M. Tournarie. Voir P. Perio (<i>Lettre</i>)	82 S et 71
J. Tousset, Le rayonnement du mésothorium I (^{228}Ra)	461
J. Trompette, Sur l'oxydation des métaux en couches minces	41 S
C. Tzara. Voir J. Miller	296 et 755
C. Tzara. Voir G. Tamas	299 et 532
K. H. Tzou, Les groupes de transformation et les états propres dans les théories du neutrino	537
K. H. Tzou, Normalisation uniforme des ondes planes de spin 1/2 sous les opérations d'inversion	579
K. H. Tzou, Sur les invariances C et P d'un fermion (<i>Lettre</i>)	674
J. Uebersfeld. Voir G. Lomaglio (<i>Lettre</i>)	802
J. Uebersfeld. Voir J. L. Motchane	198
J. Uebersfeld. Voir J.-L. Motchane (<i>Lettre</i>)	801
J. Uebersfeld. Voir J. G. Theobald (<i>Lettre</i>)	676
R. Uzan. Voir G. Déjardin	34 S
G. Valladas, Les expériences de compteurs auprès de Saturne	24 S
V. J. Vanhuyse. Voir W. C. Barber	299
V. J. Vanhuyse et G. J. Vanpraet, Diffusion résonnante nucléaire de photons par le niveau de 1,01 MeV de ^{27}Al	290
A. Van Isterbeek, G. Forrez, J. Smits et J. Witters, Résonance ferromagnétique dans les films de permalloy	81
R. Van Lieshout. Voir C. Ythier	470
G. J. Vanpraet. Voir V. J. Vanhuyse	290
L. Van Rossum, Les faisceaux secondaires de Saturne	14 S
R. Van Zurek. Voir J. Duclos	385
A. Vasicek, Optics of thin films (<i>Revue</i>)	834
E. Vassy, Physique de l'atmosphère : II. Phénomènes de réfraction (<i>Revue</i>)	129
G. Vedrenne. Voir D. Blanc	176 A
M. Vergnes et R. David-Boyer, Essai d'utilisation d'un cristal InAs pur comme détecteur γ en coïncidence rapide (<i>Lettre</i>)	65
M ^{lle} A.-M. Vergnoux, Progrès récents dans les techniques de la spectroscopie infrarouge.	112 S
H. Violettes. Voir P. Depommier	493
C. Victor. Voir C. Bergamaschi	305
M ^{lle} D. Vidal, Mesure de la durée de vie des porteurs de charge à la surface du sélénium par méthode photoélectrique	41 S
R. Vijayaraghavan, Étude par résonance nucléaire du tellure et de certains alliages du thallium	118 S
J. Villain. Voir A. Herpin (<i>Lettre</i>)	82 S et 67

G. Villers et J. Loriers, Quelques propriétés de grenats mixtes de terres rares substitués par l'aluminium et le chrome (<i>Lettre</i>)	753
M ^{lle} J. Vincent et G. Blet, Étude en fonction de la température de la variation de sensibilité photoélectrique d'une cellule au sélénium soumise à un champ magnétique	685
M ^{me} J. Vincent-Geisse et J. Lecomte, Mesure des indices de réfraction dans l'infrarouge (<i>Mise au point bibliographique</i>)	794
M ^{me} J. Vincent-Geisse. Voir J. Lecomte	1 S
M ^{me} J. Vincent-Geisse et J. Lecomte, Mesure dans l'infrarouge des constantes optiques de corps absorbants	62 S
A. Visconti, Classification des particules élémentaires, règles de sélection pour leur production et leur désintégration	108 S
B. Vodar. Voir M ^{lle} D. Fabre (<i>Lettre</i>)	263
B. Vodar. Voir Hai-Vu	5 S
T. Vogel, L'hérédité en dynamique théorique	118 S
G. Walter et A. Coche, Identification des raies γ de la famille de l'actinium à l'aide d'un spectromètre à scintillations	477
T. C. Wang, Influence des fluctuations du nombre des molécules sur la fréquence d'un maser oscillateur à faisceau moléculaire (<i>Lettre</i>)	261
J. W. Weevers. Voir R. Servant	95 S
M. R. Wehr et J. A. Richards, Physics of the Atom (<i>Revue</i>)	168
G. Weill. Voir M ^{me} H. Rodot (<i>Lettre</i>)	502
J. Winogradski, Formalisme tensoriel et spinoriel incluant les parités	835
J. Witters. Voir A. Van Itterbeek	81
E. Wood. Voir L. Birds	329
A. M. Yaglom et I. M. Yaglom, Probabilité et information (<i>Revue</i>)	93
O. Yamada, Sur les variations d'aimantation dues à des échauffements et des refroidissements	116 S
C. Ythier et R. Van Lieshout, Étude du spectre gamma d'émetteurs de courte période de nombre de masse voisin de 80	470
T. Yuasa, Réalisation d'une chambre à brouillard de Wilson autocommandée à pression variable (entre 1 cm Hg et 76 cm Hg) d'un type nouveau	495
T. Yuasa, G. Corbé et F. Reide, Réalisation d'une chambre à brouillard de Wilson autocommandée, à pression variable, d'un type nouveau. II	123 A
J. Yvon, Relaxation d'un système faiblement couplé à un thermostat	505
J. Yvon, Mécanique statistique quantique. Opérateurs densités et grandeurs thermodynamiques	569
J. Yvon, La production d'énergie électrique d'origine nucléaire en France	61 S
J. Yvon, Rapport moral sur l'année 1958-1959	88 S
J. M. Ziman, Electrons and Phonons (théories des phénomènes de transport dans les solides) (<i>Revue</i>)	531
M ^{lle} J. M. Zivojinov, Détermination de l'entropie d'ébullition	37 A
M. P. Zlatev, Détermination des courants de Foucault au moyen du potentiel vecteur électrique	16 A
R. Zouckermann. Voir R. Cartraud (<i>Lettre</i>)	82 S et 73